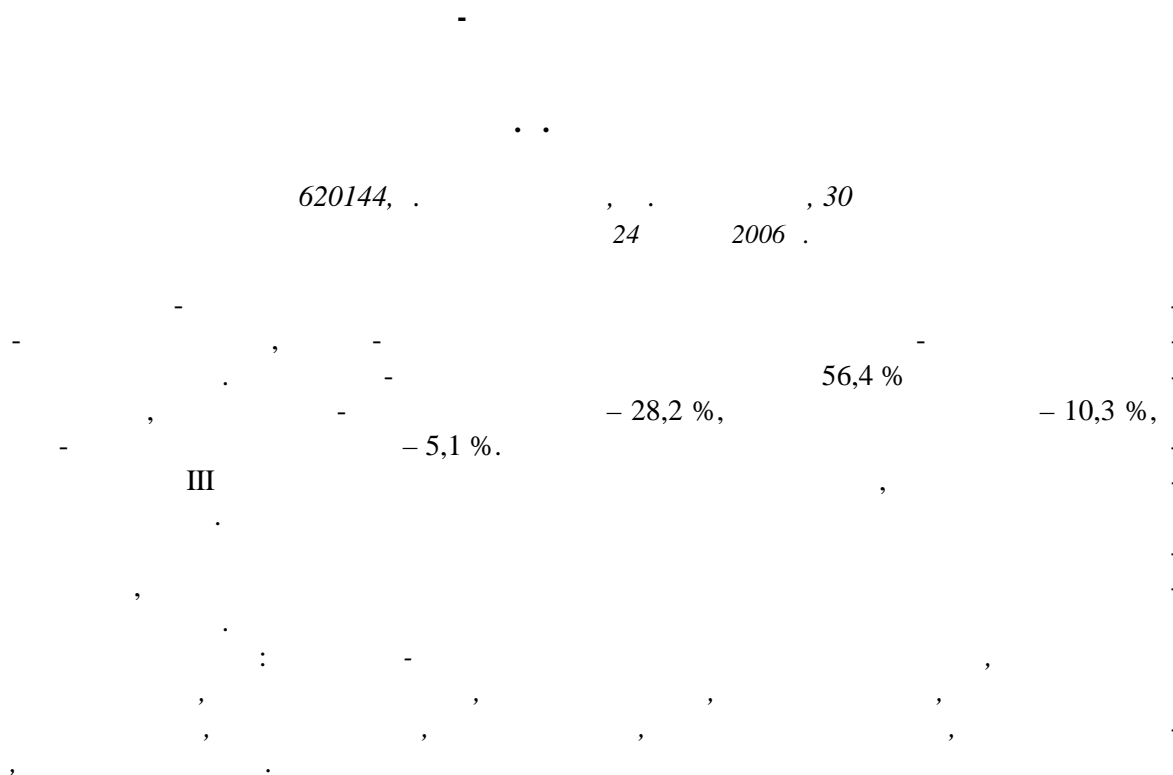


SHORT COMMUNICATIONS

553.462+550.83(470.5)



TUNGSTEN-MOLYBDENUM DEPOSITS OF GREISENIC FORMATION IN REGIONAL STRUCTURES AND PHYSICAL FIELDS OF THE URALS

V.A. Elokhin

Urals State Mining University

Tungsten-molybdenum greisenic deposits in the Urals were formed in Riphean-Lower Cambrian, Middle-Upper Paleozoic and Upper Paleozoic-Mesozoic metallogenic epochs. About 56,4 % of deposits and ore mineralizations are located in the Eastern Urals megazone, 28,2 % – in the Central Urals megazone, 10,3 % – in the Behind Urals megazone, 5,1 % – in the Tagil-Magnitogorsky megazone. All objects are related to anticlinorium structures of the IIIrd order and are founded in blocks of ultrasialic, sialic and sial-femic types.

The physical fields parameters reflect heterogeneity of the Earth's crust of the Urals and its block structure. The molybdenum deposits of different age are spatially related to certain blocks.

Key words: *tungsten-molybdenum greisenic deposits, regional structures of the Urals, field of gravity, basicity of the crust, density of the crust, depth occurrence of basalt layer, thickness of the crust, magnetic field, correlation analysis, cluster analysis, factorial analysis.*

Региональные структуры*			Количество объектов** , %					Региональные физические поля***						Примеры месторождений
I порядка	II порядка	III порядка	П	Мм	Мс	Мк	Поле силы тяжести, 10^{-2} мм/с ²	Плотность коры, г/см ³	Мощность коры, км	Магнитное поле, мЭ	Страто- изотипсы базальто- вого слоя, км	Основ- ность коры, г/см ³		
I	2	3	4	5	6	7	8	9	10	11	12	13	14	
Центрально- Уральское подняtie (мегазона)	Полярно- Уральский мегаанти- клинорий (мегаблок)	Малообская антиклиналь- ная структура на границе с Няровским моноклинорием	10	5,1	2,6	-	+10...+90	2,92-2,93	56-58	-2...-0,1	-17,5...-20	2,3-2,4	Харьбейское, Лонготоганское Сальгальбинское	
	Ляпинско- Кутировский мегаантикли- норий (мегаблок)	Ляпинско- Маньхам- бинский антиклинорий	7,7	-	-	-	+8...+18	2,86 - 2,90	56,5-63	-2...+3	-20	1,9-2,2	Холодное, Хальмер-Ю	
Тагильско- Магнито- горский прогиб (мегазона)	Уфалейско- Уралауский мегаантикли- норий (мегаблок)	Таганайско- Маярдаский антиклинорий	2,6	-	-	-	-31	2,86	56	-1	-27,5	1,8	Ахмеровское	
	Магнитогор- ский прогиб (палеорифт)	Ахуново- Кацбахский антиклинорий	-	2,6	-	-	-16	2,87	57,5	+0,1	-22,5	2,0	Полоцкое	
		Теренсайский Антиклинорий на границе с Шалаккайрак- тинским анги- клинорием	-	2,6	-	-	-14	2,88	54	-2	-23	2,05	Нижеушка- тинское	

Палеогеография, * П₁ [Тарасовская..., 1983]; ** П – исследование, Мм – малые месторождения, Мс – средние месторождения, Мк – крупные месторождения, Мг – геолита месторождения,
*** [..., 1983; ..., 1997].

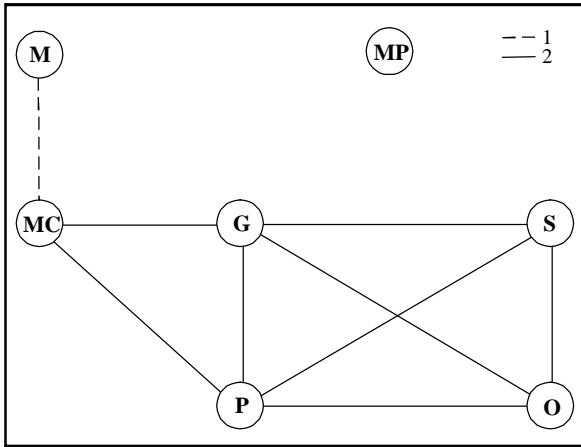
1	2	3	4	5	6	7	8	9	10	11	12	13	14	
Восточно-Уральское поднятие (мегазона)	Сосьвинско-Коневский мегантиклинорий (мегаблок)	Мурзинско-Алудский антиклинорий	5,1	-	2,6	-	-25...-40	2,87	45-47,5	-2...-1	-20	2,0-2,1	Южно-Шамейское	
	Челябинско-Суундукский мегантиклинорий (мегаблок)	Логиновская седловидная структура	5,1	-	-	-6...-1	2,87	46-47,5	-2	-20	2,1	2,1	Галочья гора	
	Адамовско-Муголжарский мегантиклинорий (мегаблок)	Джабык-карагайско-Суундукский антиклинорий	23,0	-	-	-39...-15	2,87-2,88	56-57,5	-2...-1	-22,5...-25	1,9-2,2	1,9-2,2	Аландское, Свободное, Башкиров Лог	
	Адамовско-Муголжарский мегантиклинорий (мегаблок)	Западно-Кумакская седловидная структура	5,1	-	-	-34...-24	2,89	52,5	-2	-25	1,8	1,8	Славинское	
		Адамовско-Муголжарский мегантиклинорий (мегаблок)	Адамовский антиклинорий	5,1	-	-	-36...-20	2,89	54-55	-2	-24...-25	1,9-2,2	1,9-2,2	Маячное
			Шалаккай-рактинский антиклинорий	2,6	2,6	-	-40...-21	2,89-2,90	51-52,5	-2...+1	-22,5...-23	1,9-2,0	1,9-2,0	Восток
			Талдыкский антиклинорий	2,6	-	-	+4	2,91	55	-3	-20	2,2	2,2	Ащисайское
	Еленовско-Карабутацкий мегасинклинорий (мегаблок)	Еленовский антиклинорий	2,6	-	-	-24	2,90	52,5	-1	-15	1,9	1,9	Коганинское	
	Зауральское поднятие (мегазона)	Камышловский мегантиклинорий (мегаблок)	Куровско-Улутушский антиклинорий	-	-	2,6	-15	2,85	45	+1	-22,5	2,0	2,0	Коклановское
		Зауральское поднятие (мегазона)	Троицко-Карашатауский мегантиклинорий (мегаблок)	2,6	-	-	-40...-20	2,87-2,88	45,5-46	-2...+1	-22,5...-25	1,80-1,82	1,80-1,82	Дрожиловское
Александровско-Денисовский мегасинклинорий (мегаблок)			-	-	2,6	-44	2,88	46	+0,1	-25	1,82	1,82	Смирновское	

...
 () - -
 () - -
 - 1 : 1 000 000 [..., 1983] . .
 « .2). » , . . . , . . . , . . .
 « » , . . . , . . . , . . .
 (,) - -
 (), - -
 -1,0 -44,0 × 10⁻² / ²,
 ().

2

		I				
	'	1	2	3	4	5
T	200±1					
	251±3	█	█	█		█
P	295±5	█	█	█		█
	(360)			█		
D	418±2			█		
S	443±2					
O	490±2					
V	535±1	█				
	600±10					
R ₃	1030±30					

. 1 - (); 2 - (); 3 - (); 4 - (); 5 - ().



.2.

G - ; S - ;

: 1 - ; 2 -

(. 3).

(. 2, . 3).

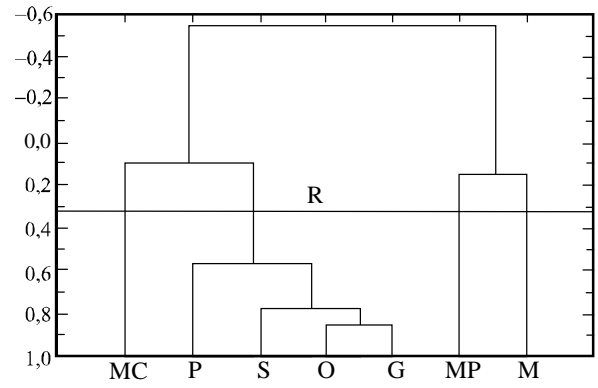
3

()	(G)	()	()	()	(S)	()	()
1,00	-0,10	-0,18	-0,53*	0,16	0,03	-0,14	()
	1,00	0,70*	0,38*	0,12	0,81*	0,85*	(G)
		1,00	0,34*	-0,09	0,56*	0,75*	()
			1,00	0,04	0,09	0,32	()
				1,00	0,11	-0,08	()
					1,00	0,77*	(S)
						1,00	()

* R = 0,34; n = 34

.3.

.2.



(.4, .4).

1 (= 46,23 %).
2 22,93 %.

15,49 %.

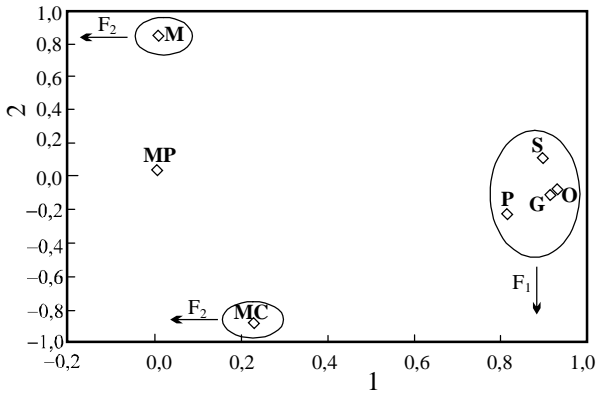
1 :

4

	1	2	3
()	0,0029	0,8660*	0,1816
(G)	0,9266*	-0,1599	0,1500
()	0,8100*	-0,2273	-0,1481
()	0,2297	-0,8613*	0,1365
()	0,0079	0,0388	0,9827*
(S)	0,8935*	0,1168	0,1222
()	0,9328*	-0,1444	-0,0878
	3,2360	1,6052	1,0845
, %	46,23	22,93	15,49

.*

0,34.



. 4. (F₁ F₂) -

. 2.

();
- 51,3 %

55,0-60,0 , 23,1 % 50,0-

55,0 , 23,0 %

45,0-50,0 2,6 % 60,0-65,0 ;

- 61,5 %

1,8-2,0 / ³, 38,5 %

2,0-2,4 / ³;

(R = 0,92).

-25,0 53,8 %

-20,0...

(R = 0,42).

43,6 %

-15,0...-20,0

2,85-2,89

/ ³ 71,8 %

2,90-2,93 / ³

28,2 %

(R = -0,09).

III ;

. 2001. // . 13. . 131-136.

. //
 //
 , 1996.
 : , 1996. .40-54.
 , 2000. .95-107.
 , 1:1 000 000 / , 1983. //
 / : , 1997. .101-117.
 , 1996. 295 , 1983. 1 : 1 000 000 / .